

## (332) 低炭素鋼冷間圧延板の再結晶焼鉄におけるセメントイトの溶解

東京大学 工学部

阿部秀夫 ○鈴木竹四

1. 目的 低炭素鋼板の再結晶焼鉄におけるセメントイト粒子のFeマトリクスへの溶解過程を観測し、それと再結晶過程および再結晶集合組織形成過程との関係を検討する。セメントイト溶解過程の観測は、前報<sup>1)</sup>の絶対熱電能S-電気伝導度Oダイアグラムによる。

2. 実験方法 試料はTable 1.の化学成分のAlキルド鋼熱延鋼帯。

Fig. 1.のA,B,Cの3種の熱処理により、A:微細・粒状セメントイト、

B:パーライトコロニー、C:粗大セメントイトを含む組織を得た。これら3試片に75%の冷間圧延を行なった後多数の小試片を作製、695°C塩浴中で急熱等温焼鉄を行ない、氷水中に急冷し、0°CにおけるSとOを測定した。250°Cで50hr焼きもどし、Fe格子間siteに侵入固溶している炭素をセメントイトとして析出させ、再び0°CにおけるSとOを測定した。

3. 結果 試料A,CについてのS-OダイアグラムをFig. 2.に示す。次の三つの前提条件のもとにS-Oダイアグラムを説明する。a)純鉄の転位に特有な勾配gは500 μV·μΩ·cm·deg<sup>-1</sup>とする<sup>2)</sup>。(以下gの単位は省略) b)250°Cにおけるセメントイトの析出に特有なgは3/10である。c)転位に炭素原子が偏析すると、それに特有なgは500よりも低くなり、その値は偏析率が大きいほど低くなる。

Fig. 2のS-Oダイアグラムの表示法は前報<sup>1)</sup>と同じで、0, 1, 2…の●印点は、75%冷間圧延試片を695°C塩浴中に0sec, 1sec, 2sec,…浸漬後氷水中に焼入れ、

0', 1', 2'…の○印点はそれらを250°Cで50hr焼きもどした状態の各データ点である。座標原点をAでは8', Cでは12' とし、各データ点の位置ベクトルを、組織観察結果から最も適切と考えられる成分ベクトルに分解する。S-Oダイアグラムの下に示した各状態の棒グラフにおいて、黒色部は固溶炭素原子、白色部は炭素が偏析した転位の電気伝導度への寄与を表わし、白色部内にはgの値(それは炭素偏析率と関係がある)を示す。この結果は不確定な問題も含まれているが、A) 冷間圧延後にすぐにかなりの量の炭素原子がセメントイトから離脱し転位に偏析している。B) 烧鉄時間増加とともにセメントイトの溶解が進行するが、遊離炭素原子はまず転位に偏析し(焼入れ状態において)再結晶開始とともにFe格子間siteに侵入するようになる。C) 冷延後の転位密度および転位への炭素偏析率は試料Aが最も大きい。D)再結晶開始前の回復速度は試料Cが最も速いことを示す。

1) H.Abe, T.Suzuki: Trans.ISIJ., 19(1979), 689  
2) H.Abe, T.Suzuki,  
H.Hoshina: Trans.ISIJ., 19(1979), 355

Table 1. Chemical composition (in wt%)

| C     | Si   | Mn   | P     | S     | Sal Al | Insol Al | Sal N  |
|-------|------|------|-------|-------|--------|----------|--------|
| 0.046 | 0.01 | 0.35 | 0.020 | 0.018 | 0.030  | 0.010    | 0.0060 |

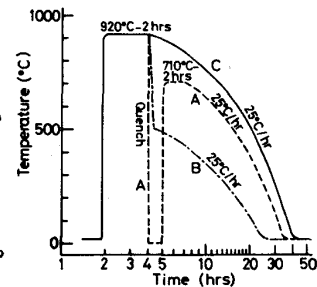


Fig. 1. Heat-treatments of hot-band specimens.

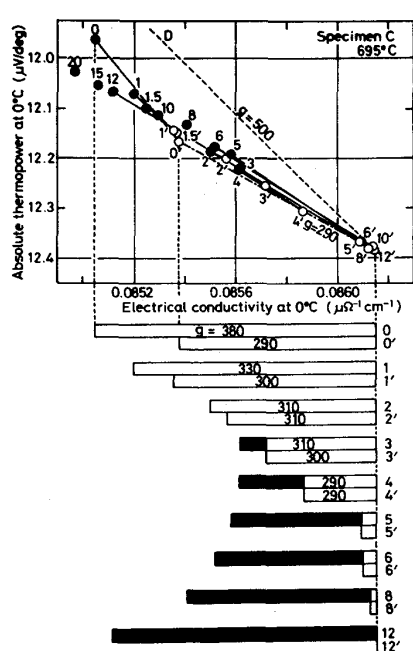
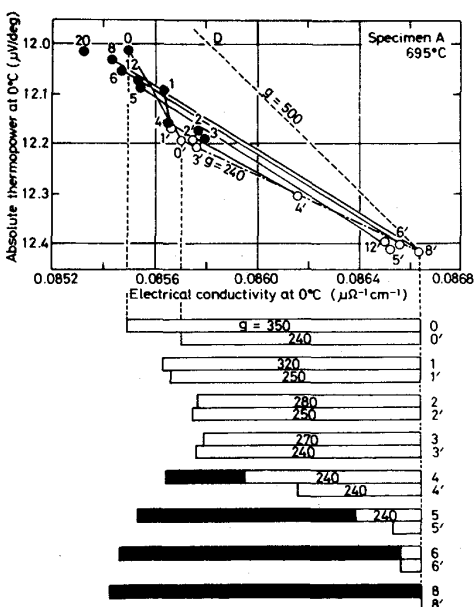


Fig. 2. Interpretation of S-O-diagrams for specimens A and C.